



Transformée de Fourier 2D

Transformée de Fourier 2D



- Principaux signaux
- TF 2D analogique
- TF 2D discrète

Principaux signaux

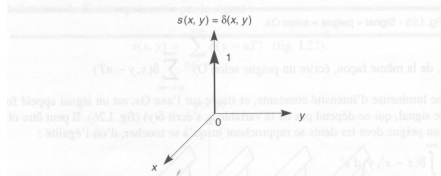


Fig. 1.23 - Signal de Dirac bidimensionnel $\delta(x, y)$ représentant un point lumineux situé à l'origine.

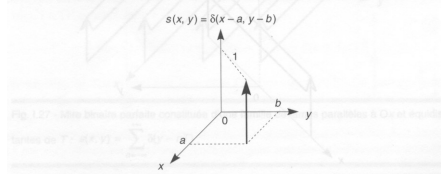


Fig. 1.24 - Représentation d'un point lumineux situé au point de coordonnées (a, b) par le signal de Dirac $\delta(x - a, y - b)$.

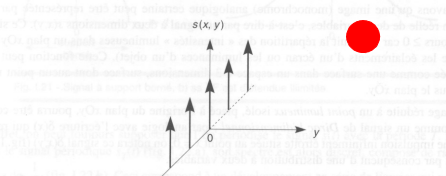


Fig. 1.25 - Signal « peigne » selon Ox .

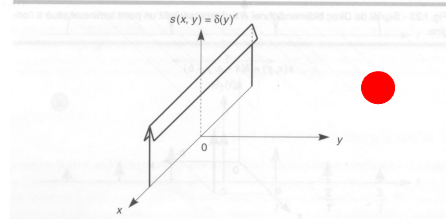


Fig. 1.26 - Signal « lame » selon Ox : $\delta(y)$ représente une ligne lumineuse d'intensité constante.

ENSTA Bretagne – SE - UE41 ROB / UE42 SOIA – Traitement Numérique des Images – T 3

Principaux signaux

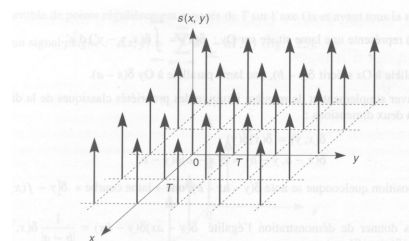


Fig. 1.28 - Signal « brosse » ou signal d'échantillonnage à deux dimensions.

ENSTA Bretagne – SE - UE41 ROB / UE42 SOIA – Traitement Numérique des Images – T 4

Transformée de Fourier



Utilité ?

- Évaluation du contenu fréquentiel d'une image (i.e information sur les taux de variations des intensités/niveaux de gris dans le domaine spatial) :
- Utilité en filtrage
- Intérêt en détection d'objets d'intérêts, en identification d'objets spécifiques, en reconnaissance de formes

ENSTA Bretagne – SE - UE41 ROB / UE42 SOIA – Traitement Numérique des Images – T 5

Transformée de Fourier



1. Définition

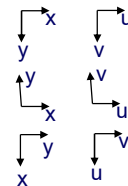
u, v : fréquences spatiales (traduisent les taux de variations de niveaux de gris dans le domaine spatial),
y : axe vertical
x : axe horizontal

$$S(u, v) = \iint_{[-\infty, +\infty]} s(x, y) \cdot \exp[-2\pi j(u \cdot x + v \cdot y)] dx \cdot dy$$

$$s(x, y) = \iint_{[-\infty, +\infty]} S(u, v) \cdot \exp[2\pi j(u \cdot x + v \cdot y)] du \cdot dv$$

$$S(u, v) = \text{Re}(u, v) + j\text{Im}(u, v)$$

$$S(u, v) = |S(u, v)| \cdot \exp[j \cdot \phi(u, v)]$$



ENSTA Bretagne – SE - UE41 ROB / UE42 SOIA – Traitement Numérique des Images – T 6

Transformée de Fourier



2. Amplitude et phase

▣ Spectre d'amplitude

$$|S(u, v)| = \sqrt{\operatorname{Re}^2(u, v) + \operatorname{Im}^2(u, v)} = \sqrt{S(u, v)S^*(u, v)}$$

$$\begin{aligned} \operatorname{Re}(u, v) &= \int_{-\infty}^{+\infty} \int_{-\infty}^{+\infty} s(x, y) \cos(2\pi(u.x + v.y)) \, dx dy \\ \operatorname{Im}(u, v) &= \int_{-\infty}^{+\infty} \int_{-\infty}^{+\infty} s(x, y) \sin(2\pi(u.x + v.y)) \, dx dy \end{aligned}$$

▣ Spectre de phase

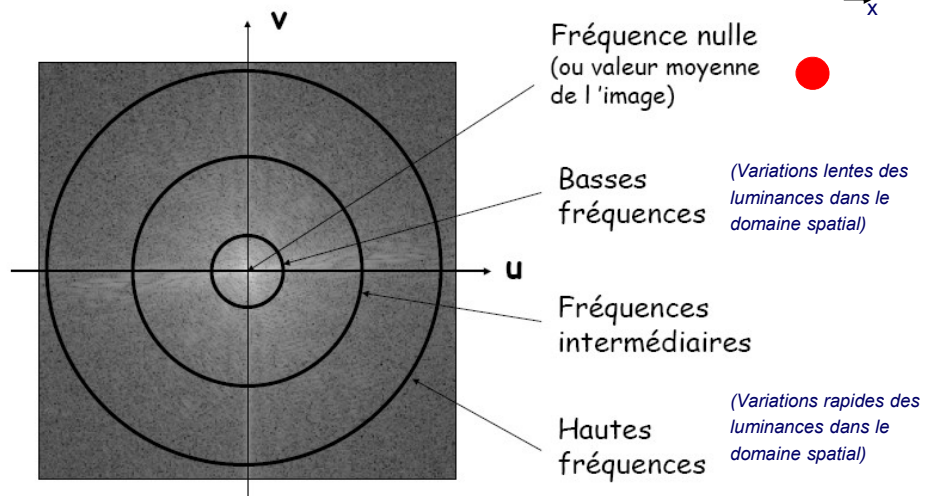
$$\phi(u, v) = \arctan\left(\frac{\operatorname{Im}(u, v)}{\operatorname{Re}(u, v)}\right)$$

ENSTA Bretagne – SE - UE41 ROB / UE42 SOIA – Traitement Numérique des Images – T 7

Transformée de Fourier



Représentation fréquentielle ($|S(u, v)|$)



Transformée de Fourier



3. Linéarité

$$s \rightarrow S, \quad w \rightarrow W, \quad a \in \mathbb{R}, b \in \mathbb{R}$$

$$a.s + b.w \xrightarrow{TF-2D} a.S + b.W$$

4. Symétrie hermitienne

si s est réelle ($\Leftrightarrow s(x, y) \in \mathbb{R} \quad \forall (x, y)$)

alors $S(u, v) = S^*(-u, -v) \quad \forall u, \forall v$

ce qui implique :

$$|S(u, v)| = |S(-u, -v)|$$

$$\phi(u, v) = -\phi(-u, -v)$$

ENSTA Bretagne – SE - UE41 ROB / UE42 SOIA – Traitement Numérique des Images – T 9

Transformée de Fourier



5. Modulation / Translation

$$s(x, y) \cdot \exp[2\pi j(u_0.x + v_0.y)] \xrightarrow{TF-2D} S(u - u_0, v - v_0)$$

$$s(x - x_0, y - y_0) \xrightarrow{TF-2D} S(u, v) \cdot \exp[-2\pi j(u.x_0 + v.y_0)]$$

6. Convolution

$$w(x, y) = h(x, y) * s(x, y)$$

$$\text{soit } w(x, y) = \int_{-\infty}^{+\infty} \int_{-\infty}^{+\infty} h(\alpha, \beta) \cdot s(x - \alpha, y - \beta) \cdot d\alpha \cdot d\beta$$

$$\text{soit } w(x, y) = \int_{-\infty}^{+\infty} \int_{-\infty}^{+\infty} h(x - \alpha, y - \beta) \cdot s(\alpha, \beta) \cdot d\alpha \cdot d\beta$$

$$\text{et } W(u, v) = H(u, v) \cdot S(u, v)$$

7. Séparabilité

$$s(x, y) = s_1(x) \cdot s_2(y) \xrightarrow{TF-2D} S(u, v) = S_1(u) \cdot S_2(v)$$

ENSTA Bretagne – SE - UE41 ROB / UE42 SOIA – Traitement Numérique des Images – T 10

Transformée de Fourier



8. Changement d'échelle

$$s(ax, by) \xrightarrow{TF-2D} \frac{1}{|ab|} S\left(\frac{u}{a}, \frac{v}{b}\right)$$

9. Invariance par rotation

$$\begin{aligned} \text{Si } s(r, \theta) &\xrightarrow{TF-2D} S(\rho, \varphi) \\ \text{alors } s(r, \theta + \alpha) &\xrightarrow{TF-2D} S(\rho, \varphi + \alpha) \end{aligned}$$

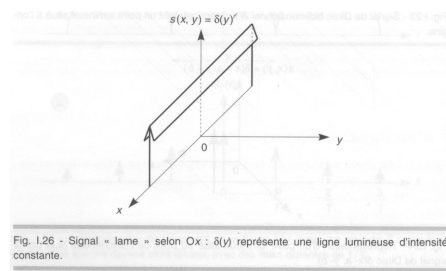
ENSTA Bretagne – SE - UE41 ROB / UE42 SOIA – Traitement Numérique des Images – T 11

Transformée de Fourier



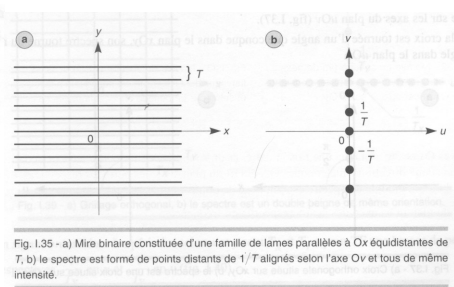
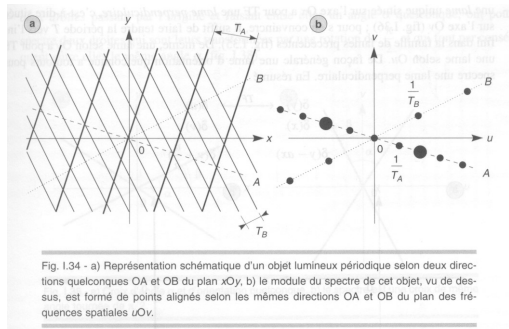
La transformée de Fourier d'une lame selon (Ox) est une lame selon (Ov)

$$\begin{aligned} TF(s(x, y)) &= \delta(u) \\ \text{si } s(x, y) &= \delta(y) \end{aligned}$$



ENSTA Bretagne – SE - UE41 ROB / UE42 SOIA – Traitement Numérique des Images – T 12

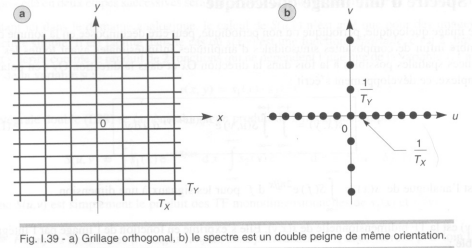
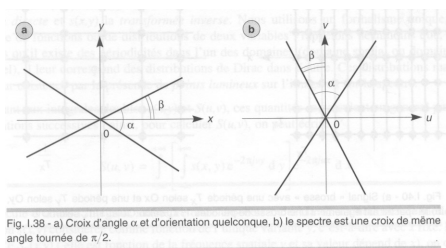
Transformée de Fourier



Le spectre d'un signal périodique est un spectre de raies

ENSTA Bretagne – SE - UE41 ROB / UE42 SOIA – Traitement Numérique des Images – T 13

Transformée de Fourier



ENSTA Bretagne – SE - UE41 ROB / UE42 SOIA – Traitement Numérique des Images – T 14

Transformée de Fourier

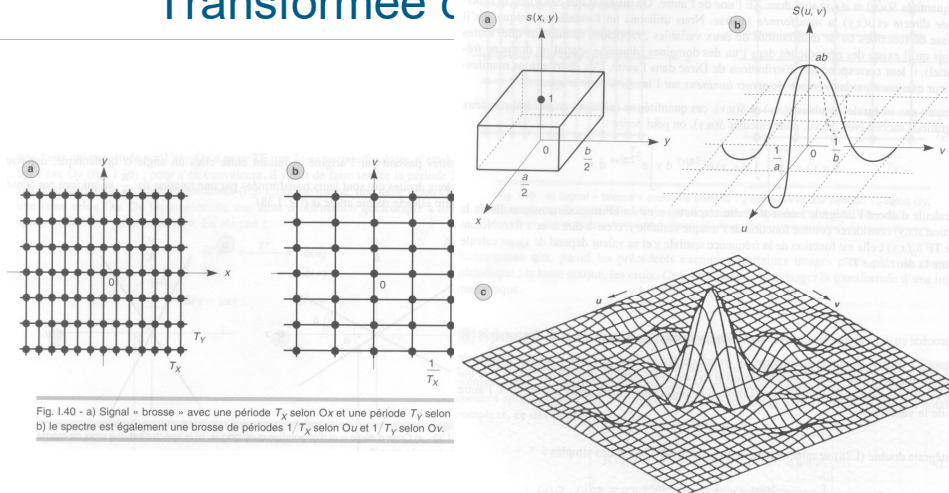


Fig. 1.40 - a) Signal « brosse » avec une période T_x selon Ox et une période T_y selon Oy . b) le spectre est également une brosse de périodes $1/T_x$ selon Ou et $1/T_y$ selon Ov .

Fig. 1.41 - a) Rectangle lumineux d'intensité unité, de côtés a et b selon Ox et Oy , b) et c) la transformée de Fourier est le produit de deux fonctions en $\frac{\sin u}{u}$ et $\frac{\sin v}{v}$:
 $S(u, v) = ab \operatorname{sinc} \pi u a \operatorname{sinc} \pi v b$.

ENSTA Bretagne – SE - UE41 ROB / UE42 SOIA – Traitement Numérique des Images – T 15

Transformée de Fourier

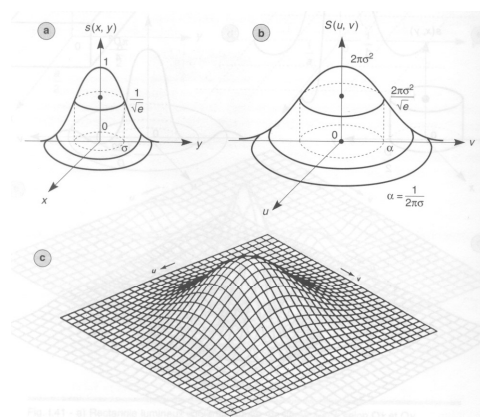


Fig. 1.43 - a) Image gaussienne de révolution, de méridienne $e^{-\frac{r^2}{2\sigma^2}}$ où r est le rayon $(r = \sqrt{x^2 + y^2})$, b) et c) : la transformée de Fourier est également une gaussienne de révolution, de méridienne $2\pi\sigma^2 e^{-\frac{p^2}{2\alpha^2}}$ où p est le rayon $(p = \sqrt{u^2 + v^2})$ et où $\alpha = \frac{1}{2\pi\sigma}$.

ENSTA Bretagne – SE - UE41 ROB / UE42 SOIA – Traitement Numérique des Images – T 16

La transformée de Fourier discrète 2D



u, v : fréquences spatiales (traduisent les taux de variations de niveaux de gris dans le domaine spatial), en cycles par pixel
 m : indice ligne (axe vertical) / n : indice colonne (axe horizontal)

1. Définition

$$S(u, v) = \sum_{m=0}^{M-1} \sum_{n=0}^{N-1} s(m, n) \cdot \exp[-2\pi j(u m + v n)]$$

avec $\begin{cases} u = \frac{k}{M}, k = 0, 1, \dots, M-1 \\ v = \frac{l}{N}, l = 0, 1, \dots, N-1 \end{cases}$

u/M et v/N sont les fréquences spatiales en cycles par pixels et varient entre 0 et 1

u et v sont les fréquences spatiales en cycles par pixels et varient entre 0 et 1

$$S(u, v) = \sum_{m=0}^{M-1} \sum_{n=0}^{N-1} s(m, n) \cdot \exp[-2\pi j(\frac{u}{M} m + \frac{v}{N} n)]$$

avec $\begin{cases} u = 0, 1, \dots, M-1 \\ v = 0, 1, \dots, N-1 \end{cases}$

u et v sont les fréquences spatiales en cycles par image et varient entre 0 et $M-1$ (resp $N-1$)

Fréquences d'échantillonnage en x et y : 1

ENSTA Bretagne – SE - UE41 ROB / UE42 SOIA – Traitement Numérique des Images – T 17

La transformée de Fourier discrète 2D



1. Définition

$S(u, v)$ est généralement complexe



$$S(u, v) = \text{Re}(u, v) + j \text{Im}(u, v)$$

OU

$$S(u, v) = |S(u, v)| \cdot \exp[j\phi(u, v)]$$

Module \Rightarrow spectre d'amplitude

Phase \Rightarrow spectre de phase

ENSTA Bretagne – SE - UE41 ROB / UE42 SOIA – Traitement Numérique des Images – T 18

La transformée de Fourier discrète 2D



2. Amplitude et phase

■ Spectre d'amplitude

$$|S(u, v)| = \sqrt{\text{Re}^2(u, v) + \text{Im}^2(u, v)}$$

$$\begin{aligned} \text{Re}(u, v) &= \sum_m \sum_n s(m, n) \cos\left(2\pi\left(\frac{u}{M}m + \frac{v}{N}n\right)\right) \\ \text{avec} \quad \text{Im}(u, v) &= \sum_m \sum_n s(m, n) \sin\left(2\pi\left(\frac{u}{M}m + \frac{v}{N}n\right)\right) \end{aligned}$$

■ Spectre de phase

$$\phi(u, v) = \arctan\left(\frac{\text{Im}(u, v)}{\text{Re}(u, v)}\right)$$

Généralement difficile à interpréter mais contient l'information sur la localisation des objets dans l'image, sur leur placement relatif

ENSTA Bretagne – SE - UE41 ROB / UE42 SOIA – Traitement Numérique des Images – T 19

La transformée de Fourier discrète 2D



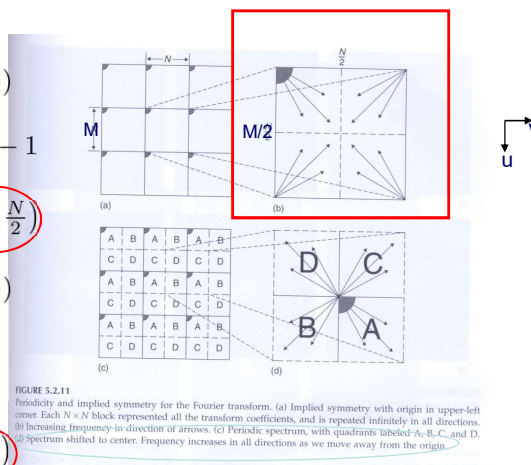
4. Symétrie

si s est réelle ($\Leftrightarrow s(m, n) \in \mathbb{R} \quad \forall(m, n)$)
alors $S(u, v) = S^*(M - u, N - v)$
 $\forall u \text{ tq } 0 \leq u \leq M - 1, \forall v \text{ tq } 0 \leq v \leq N - 1$

\Rightarrow Point de symétrie de $S(u, v)$ en $\left(\frac{M}{2}, \frac{N}{2}\right)$

si s est réelle ($\Leftrightarrow s(m, n) \in \mathbb{R} \quad \forall(m, n)$)
alors $S(u', v') = S^*(1 - u', 1 - v')$
 $\forall u \text{ tq } 0 \leq u' = u/M \leq 1 - 1/M,$
 $\forall v \text{ tq } 0 \leq v' = v/N \leq 1 - 1/N$

\Rightarrow Point de symétrie de $S(u, v)$ en $\left(\frac{1}{2}, \frac{1}{2}\right)$



ENSTA Bretagne – SE - UE41 ROB / UE42 SOIA – Traitement Numérique des Images – T 20

La transformée de Fourier discrète 2D

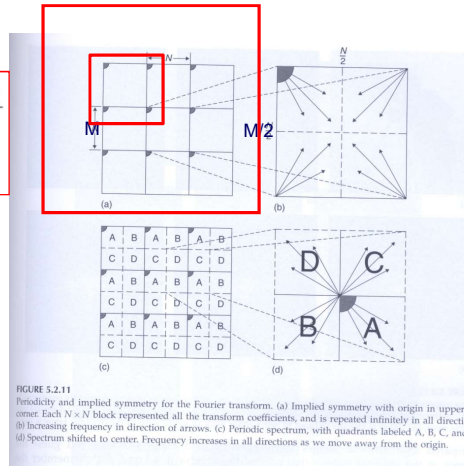


5. Périodicité

$$\begin{aligned} \forall 0 \leq u \leq M-1 \quad \forall 0 \leq v \leq N-1 \\ \forall k \in \mathbb{N} \quad \forall l \in \mathbb{N} \\ S(u+k.M, v+l.N) = S(u, v) \end{aligned}$$



$$\begin{aligned} \forall 0 \leq u' = u/M \leq 1 - 1/M \\ \forall 0 \leq v' = v/N \leq 1 - 1/N \\ \forall k \in \mathbb{N} \quad \forall l \in \mathbb{N} \\ S(u' + k, v' + l) = S(u', v') \end{aligned}$$



ENSTA Bretagne – SE - UE41 ROB / UE42 SOIA – Traitement Numérique des Images – T 21

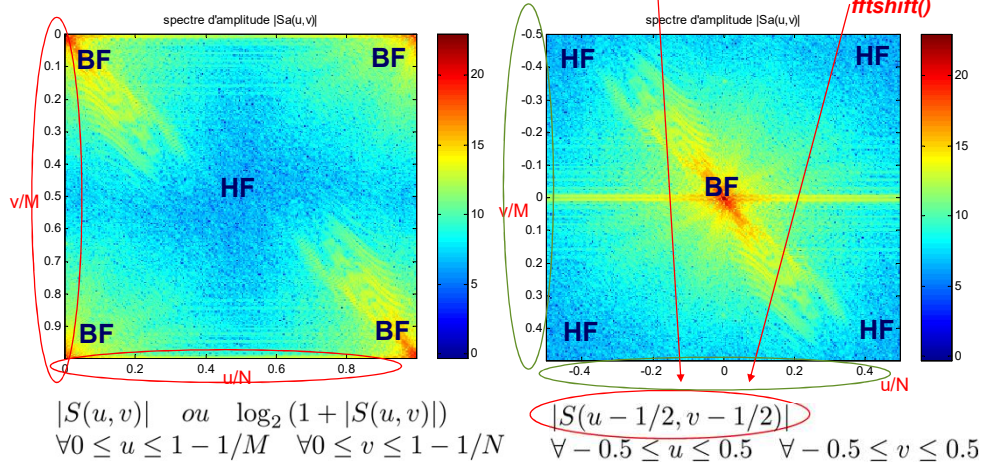
La transformée de Fourier discrète 2D



7. Représentation de la TFD-2D

$$s(m, n)(-1)^{n+m} \Leftrightarrow$$

Manipulation
supplémentaire sous
OpenCV pour
réarranger les 4
blocs
fftshift()



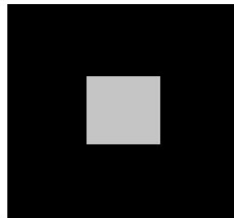
ENSTA Bretagne – SE - UE41 ROB / UE42 SOIA – Traitement Numérique des Images – T 22

La transformée de Fourier discrète 2D



Autre exemple

Image originale



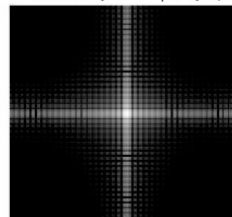
$|F(u, \nu)|$



$|F(0,0)|$ au centre



$k \log(1 + |F(u, \nu)|)$

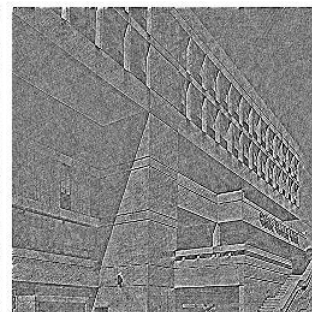
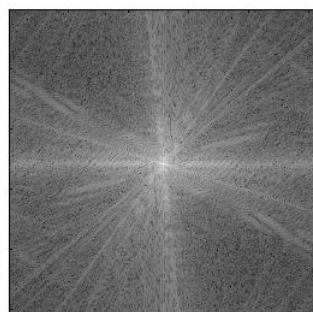


ENSTA Bretagne – SE - UE41 ROB / UE42 SOIA – Traitement Numérique des Images – T 23

La transformée de Fourier discrète 2D



Autre exemple

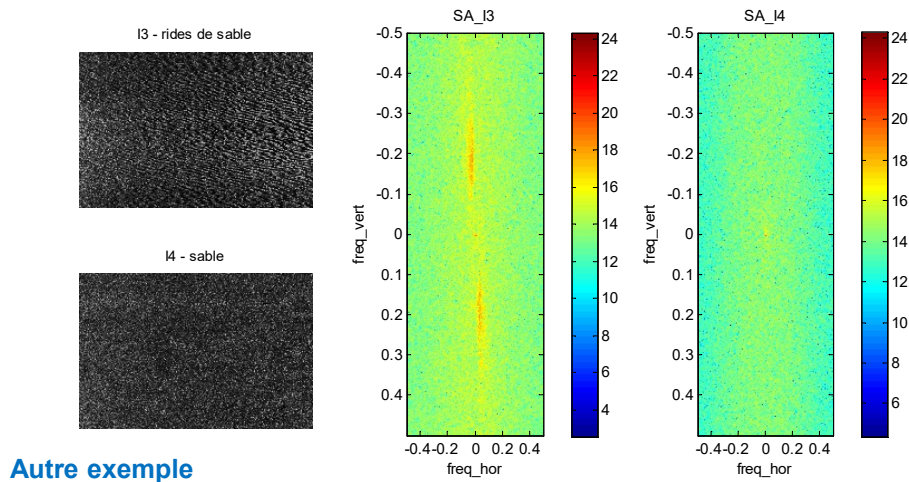


$\log(|F(u, v)|)$

$\varphi(u, v)$

ENSTA Bretagne – SE - UE41 ROB / UE42 SOIA – Traitement Numérique des Images – T 24

La transformée de Fourier discrète 2D

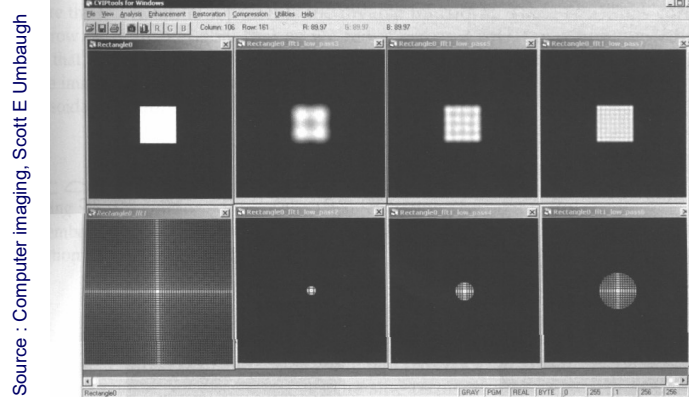


ENSTA Bretagne – SE - UE41 ROB / UE42 SOIA – Traitement Numérique des Images – T 25

La transformée de Fourier discrète 2D



Interprétation fréquences hautes / basses



harmonics. (f) Approximation to the sum of the first 20 harmonics. (g) CVIPtools screen capture of a square and successively adding more harmonics. Across the top are the reconstructed squares with 8, 16 and then 32 harmonics. Across the bottom are the corresponding Fourier transform magnitude images.

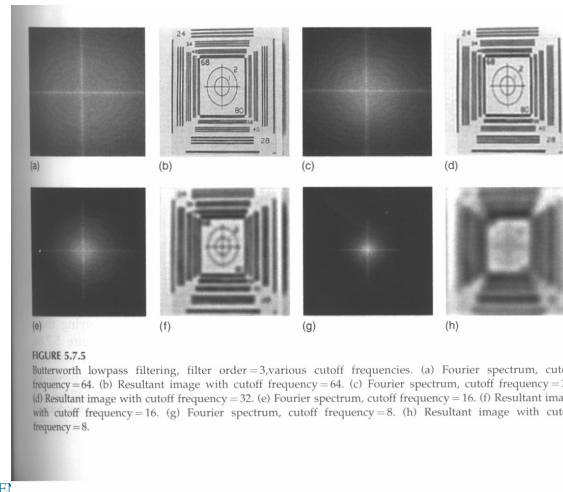
ENSTA Bretagne – SE - UE41 ROB / UE42 SOIA – Traitement Numérique des Images – T 25

La transformée de Fourier discrète 2D



Interprétation fréquences hautes / basses

Source : Computer imaging, Scott E Umbaugh



Et

7

Une autre façon de deviner la TF2D d'une image ...



1. Echantillonnage spatial (par une brosse de Dirac) => périodisation fréquentielle (la TF est périodique)
2. Troncature spatiale (multiplication de l'image par une fenêtre de pondération 2D) => filtrage du spectre (convolution du spectre par la réponse en fréquence de la fenêtre)
3. Périodisation spatiale ← 3. Echantillonnage fréquentiel
4. Restriction du spectre sur une période

TFD 2D et OpenCV / Numpy



OPENCV

Transformée de Fourier discrète : `cv2.dft()`

`cv2.dft(src[, dst[, flags[, nonzeroRows]]])` → dst

Transformée de Fourier Inverse : `cv2.idft()`

`cv2.idft(src[, dst[, flags[, nonzeroRows]]])` → dst

Spectre d'amplitude : `cv2.magnitude(x, y[, magnitude])` → magnitude

Spectre de phase : `cv2.phase(x, y[, angle[, angleInDegrees]])` → angle

Spectre d'amplitude et de phase : `cv2.cartToPolar()`

NUMPY

`fft.fft2()` , `fft.ifft2()`

`abs()`

`fft.fftshift()`

ENSTA Bretagne – SE - UE41 ROB / UE42 SOIA – Traitement Numérique des Images – T 29

Sinusoïdes à espace discret



1 Fonction sinusoïdale 1D

- Déphasage à l'origine
- Fréquence d'oscillation

$$f(n) = A \cdot \sin(2\pi f_0 \cdot n + \varphi)$$

2 Fonction sinusoïdale 2D

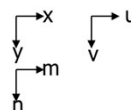
- Déphasage à l'origine
- 2 fréquences d'oscillation (U – fréq / axe de m et V – fréq / axe de n)
- Ou la fréquence d'oscillation la plus rapide (fréquence radiale) et la direction de cette oscillation

$$f(m, n) = A \cdot \sin(2\pi (U \cdot m + V \cdot n) + \varphi)$$



$$\Omega = \sqrt{U^2 + V^2}$$

$$\theta = \arctan\left(\frac{V}{U}\right)$$



$$U = \frac{u_s}{M} \text{ et } V = \frac{v_s}{N}$$

u_s et v_s représentent le nombre de cycles entiers que réalise la fonction sinus sur une distance de M pixels horizontalement et N pixels verticalement.

Par exemple, $u_s = 2$ et $v_s = 2$ spécifient une fonction sinusoïdale qui réalise deux cycles entiers dans les deux directions horizontale et verticale créant ainsi une onde orientée diagonalement

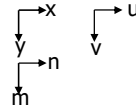
$$\exp[2\pi j(U \cdot m + V \cdot n)]$$

ENSTA Bretagne – SE - UE41 ROB / UE42 SOIA – Traitement Numérique des Images – T 30

Exemple de sinusôides à espace discret



☐ Au niveau logiciel :



☐ Fonction sinusôidale 2D (ancien TE1)

– Avec déphasage nul à l'origine et amplitude A=1

$$f(m, n) = A \cdot \sin(2\pi(U \cdot m + V \cdot n) + \varphi)$$

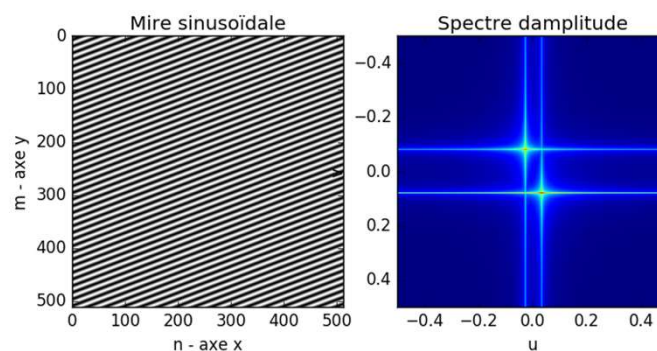


$$f(m, n) = \sin(2\pi(F_y \cdot m + F_x \cdot n))$$

F_x, F_y = 0.03, 0.08; #fréquences définissant la sinusôide données en cycles par #pixel. Il faut les multiplier par le nombre de pixels par ligne et par colonne #pour les avoir en cycles par image.
#ce qui donne F_x=15 cycles par image et F_y=40 cycles par image

ENSTA Bretagne – SE - UE41 ROB / UE42 SOIA – Traitement Numérique des Images – T 31

TFD2D de la mire sinusôidale

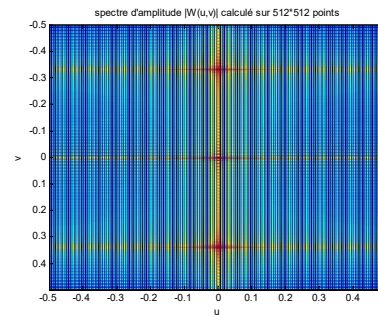
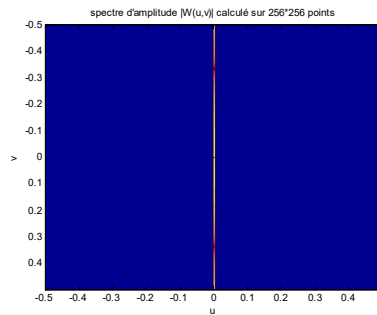


#En comptant les cycles (<=> périodes) sur chaque axe,
#on trouve nb_cycles_x=16 env et nb_cycles_y=41 env, ce qui correspond bien à
#f_x=0.031 env et f_y=0.08
#Remarque 2 : on observe bien deux pics fréquentiels, l'un en u=0.031 et v=0.078
#et l'autre en u=-0.031 et v=-0.078. Les deux pics sont en fait des sinc du fait
#de la troncature rectangulaire implicite

ENSTA Bretagne – SE - UE41 ROB / UE42 SOIA – Traitement Numérique des Images – T 32

Zero-padding

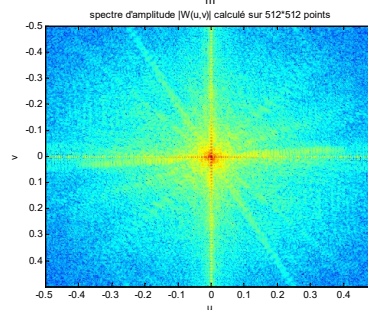
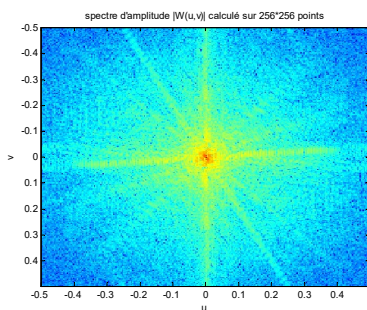
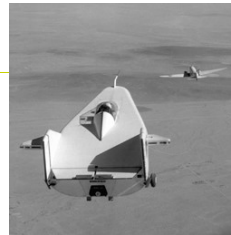
- Objectif : améliorer la précision de la réponse fréquentielle, augmenter la visibilité du spectre pour une meilleure interprétation du spectre



ENSTA Bretagne – SE - UE41 ROB / UE42 SOIA – Traitement Numérique des Images – T 33

Zero-padding (2)

image numérique originale w



ENSTA Bretagne – SE - UE41 ROB / UE42 SOIA – Traitement Numérique des Images – T 34